

## 発破振動の重複に関する一考察

山口大学工学部 正 ○国松 直 山口大学工学部 正 中川浩二  
 山口大学工学部 正 三浦房紀 宇部興産(株) 正 今村 威  
 京葉ガス(株) 児玉広伸

1.はじめに 低コストで破碎効率の大きい発破は岩盤の掘削、破碎工程において欠かすことのできない作業である。しかし、最近では環境条件が厳しくなるのに伴ない発破作業も種々の規制がとられるようになってきた。その規制は主に発破により生じる地盤振動が対象であり、既設構造物の安全性あるいは人体への感じ方を考慮して決定される。このような現況において、規制値を満足させるために発破計画段階であらかじめ発生する振動を推定し、その推定結果をもとに発破計画の再考を行なわなければならず、建設工事の工程、作業能率などに推定式の精度が大きく影響を及ぼす。

従来より使用されている発破振動の推定式は最大速度振幅( $PPV$ (cm/s))に対するものであり、 $PPV = KW^\alpha D^{-\beta}$  の形で表わされる。ここで、Wは装薬量(kg)、Dは距離(m)、K、 $\alpha$ 、 $\beta$ は定数である。この式においてWは齊発発破の場合、何段当たりの総薬量として扱われ孔数にかかわりがないと考えられている。しかし、波には干渉作用があり、異なる孔の発破により生じる振動も互いに干渉し合うことが考えられる。

このような観点から、本研究は孔数と孔当たりの薬量が  $PPV$  に及ぼす影響について、発破実験および計算機による速度波形の重複シミュレーションにより検討を行なったものである。

2.発破実験概要 実験はある平坦な土質地盤上において、図1に示すような発破孔配列を行なった。図中の数字1～5は単発発破、6、8、10は2孔齊発発破、7、9、11は3孔齊発発破である。穿孔、起爆にあたっては地盤条件の変化を防ぐため、後列より1列をまず穿孔した後、装填、起爆を行ない、次に前列孔を穿孔するという手順を繰り返して行なった。発破孔間隔は1mである。発破規格は孔径50mm、穿孔長60cmとし、1孔当たりの薬量は25g、使用した爆薬はスラリー爆薬(アイレマイト)である。電気雷管はすべて瞬発電気雷管を使用した。測定点は中央の孔の延長線上に最前列孔から2m間隔で6個の加速度ピックアップを配置した。測点番号は発破孔に最も近いものを1とし順次6までとした。なお、測点2には速度ピックアップも併置した。記録した加速度、速度波形は鉛直成分である。発破振動の観測は主に加速度ピックアップによっているのでここでは加速度波形に対して線形加速度法<sup>1)</sup>による積分を施し速度波形を求めた。

3.実験結果および考察 図2は発破番号3の発破により生じた地盤振動を測点2で記録した加速度波形であり、図3はそれを積分した速度波形である。また、図4は同測点で記録した速度波形であり、図3と比較して波形の形状、ピーク値とも非常に良く一致しており加速度波形の積分により速度波形を得ることの妥当性を示している。次に、単発発破波形を用いた多孔発破の重複シミュレーションを行なうためには単発発破波形の同一性が前提となるが発破番号1～5の単発発破による加速度波形には再現性がみられ、齊発発破により生じる各々の波形もほぼ単発発破の波形と同様の形状をしていることが推察された。

図5は縦軸に  $PPV$ 、横軸に距離を対数目盛でとり実験結果をプロットしたものである。ここで、多孔齊発破の距離は発破孔間の中心と測点の距離とした。この図より、単発発破、2、3孔齊発破の距離減衰特性はほぼ同程度を示していることがわかる。

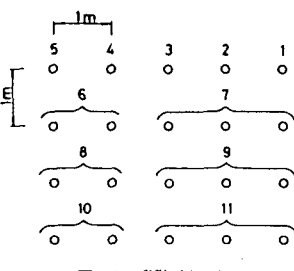


図. 1 発破パターン

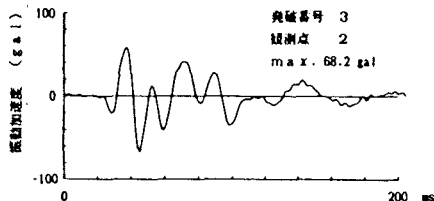


図. 2 加速度波形記録

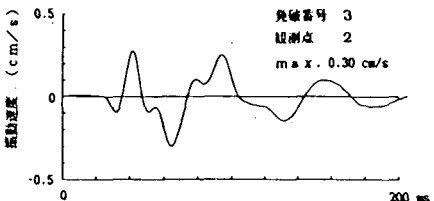


図. 3 加速度波形の積分による速度波形

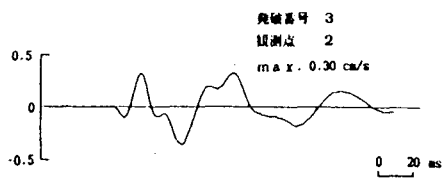


図. 4 速度ピックアップによる速度波形

段当たりの薬量 ( $W_T$ ) および距離より従来の推定式を用いて重回帰分析<sup>2)</sup>を行ない、次のような結果が得られた。

$$PPV = 321 \cdot W_T^{0.94} \cdot D^{-1.80}$$

--- (1)

上式中の  $\alpha$ 、 $\beta$  の値は従来の値 ( $\alpha = 0.5 \sim 1$ 、 $\beta = 2$ ) と比べて妥当な値である。ここで、多孔齊発時に観測される PPV が個々の単発発破振動の干渉によるものであると考えれば、PPV の推定に使用される薬量は同段当たりの総薬量ではなく孔当たりの薬量の影響を大きく受けるものと思われる。 $\alpha$  が  $0.5 \sim 1$  の値であることも孔の影響による波の干渉による結果と考えることもできる。そこで、孔当たりの薬量 ( $W_S$ ) が同じであると仮定すれば同段の発破孔数 ( $n$ ) を用いて新たに PPV の推定式として次式が考えられる。

$$PPV = K \cdot W_S \cdot D^{-\beta} \cdot n^{\gamma}$$

--- (2)

上式中の  $\gamma$  は (1) 式の  $\alpha$  の値と同値であり、単発発破時の薬量の効果は (2) 式によれば、薬量が  $a$  倍になれば  $a$  倍の PPV を示すことを意味するがこの点については今後検討を要する。 $n$  孔齊発では 1 孔の発破により生じる速度波形が完全に重ならなければ  $\gamma < 1$  となり  $\alpha$  の値と矛盾しない。

4. 重複効果のシミュレーション 孔数の影響による波形の干渉時間差には、孔が異なることによる距離の差によって生じる到達時間差や電気雷管の発破秒時誤差のための時間差が考えられる。そこで、単発発破より得られた速度波形を任意の時間差をつけて重ね合わせた時の PPV の変化を調べた。図 6 は 2 波、図 7 は 3 波の重複結果である。3 波の場合の時間差は等時間差としている。縦軸は単発発破波形の PPV に対する比、横軸は時間差である。これらの図は齊発発破でも秒時誤差等の時間差により、PPV がある程度低下することや、段発発破でもその段数によっては振動波形が重複することを表わしている。また、最大速度振幅比の時間差に対する挙動は波形特性と密接に関連しているものと思われる。

これらの図より時間差が電気雷管の誤差範囲内であれば齊発発破、それ以上であれば、ある秒時差における段発発破の最大速度振幅比を推定でき、その値を用いて  $\gamma$  を算出すれば規制された最大速度振幅以下にすべき薬量を (2) 式より求めることが可能である。

このように波の干渉を考慮した (2) 式および重複シミュレーションの併用により、従来の推定式に比べより高精度で PPV の推定が可能と思われる。また、(2) 式は単発発破、齊発発破のみならず段発発破の最大速度振幅の推定まで拡張して使用することができよう。

最後に、発破実験を実施するにあたりお世話になった、日本化薬の空地公二博士に深く謝意を表する次第である。

#### 参考文献

- 1) 大崎 順彦、地震動のスペクトル解析入門、鹿島出版会
- 2) 渡 正亮、岸 学、多変量解析プログラム集、工学図書

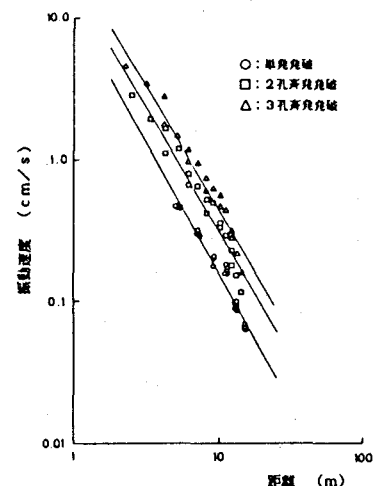


図. 5 距離減衰特性

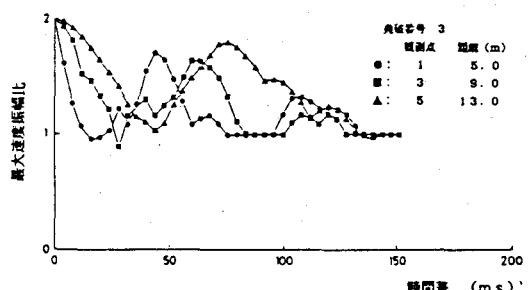


図. 6 2波重畠シミュレーションによる最大速度振幅比

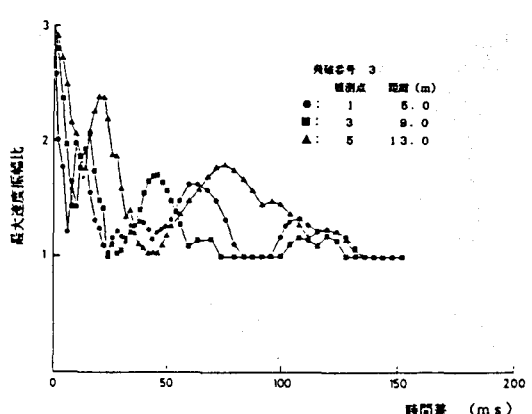


図. 7 3波重畠シミュレーションによる最大速度振幅比